

## رشد زمانی ناپایداری رامان رو به جلو در اندرکنش لیزر پالس کوتاه با پلاسمای سرد کم چگال

پاک نژاد، علیرضا؛ قربانعلیلو، محمد

گروه فیزیک دانشگاه تربیت معلم آذربایجان؛ تبریز

## چکیده

آهنگ و تابع رشد ناپایداری رامان رو به جلو مربوط به تابش یک لیزر پیکوثانیه با شدت  $(I \leq 10^{18} \text{ W/cm}^2)$  به یک پلاسمای سرد کم چگال در حالت نسبیته ضعیف محاسبه شده و نشان داده می شود که منبع تولید این ناپایداری امواج الکترومغناطیسی پراکنده شده بنام امواج استوکس و آنتی استوکس هستند بطوریکه نیروی پاندرموتیو حاصل از آنها باعث ایجاد امواج ردپایی پلاسمایی و در نتیجه مدوله شدن چگالی پلازما می شود. با گذشت زمان با افزایش دامنه امواج استوکس و آنتی استوکس، دامنه امواج ردپایی و در نتیجه دامنه نوسانات چگالی در پلازما افزایش یافته و به این ترتیب ناپایداری رامان که در چهارمرحله رخ می دهد، با آهنگ مشخصی در پلازما رشد می کند.

## Temporal grows of Raman Forward instability in short laser pulse interaction with a cold underdense plasma

Paknejhad, Alireza; Gorbanelilu, Mohammad

Physics Department, Azarbaijan University of Tarbiat Moallem, Tabriz

## Abstract

Grows rate and function of Raman forward instability associated to the interaction of picosecond short laser pulse  $(I \leq 10^{18} \text{ W/cm}^2)$  with a low density cold plasma, in weakly relativistic regime, is investigated. It is show that two scattered electromagnetic waves called Stokes and Anti-Stokes give rise this instability, yield pondermotive force lead to wake waves and as a result to modulation of plasma density. In addition, it is show that Raman forward instability occurs at four stage, grows with a given rate in plasma.

## مقدمه

کنند. به عبارت دیگر امواج پلاسمایی ردپایی توسط نیروی پاندرموتیو با سرعت نور در پلازما رانده می شوند و این باعث مدوله شدن چگالی اختلالی  $\delta n$  در پلازما می شود. از زنش متناوب بین امواج پراکنده شده با موج فرودی، امواج پراکنده شده با دامنه بالاتر تولید می شوند که این امر باعث افزایش دامنه نوسانات چگالی شده و به این ترتیب ناپایداری ناشی از پراکندگی رامان در پلازما، افزایش می یابد.

در این مقاله پس از معرفی معادلات اساسی لیزر- پلازما در حالت نسبیته ضعیف، معادلات مربوط به رشد زمانی دامنه امواج استوکس و آنتی استوکس بدست آورده می شوند. سپس در یک تقریب پیرامجوری (زاویه پراکندگی کمتر از ۶ درجه) نشان داده می شود که با گذشت زمان، ناپایداری رامان رو به جلو در چهار مرحله: چهار موجی تشدید، چهار موجی غیر تشدید، سه موجی و سه موجی باهمبستگی قوی، در پلازما رشد می کند.

در کاربردهای عملی از جمله گداخت هسته ای و شتابدهنده ها که از اندرکنش لیزر و پلازما استفاده می شود، لازم است که تحولات پالس لیزری و ناپایداری های ایجاد شده در پلازما مطالعه شوند. ناپایداری رامان یکی از این موارد است که در چگالی های نزدیک به یک چهارم چگالی بحرانی رخ می دهد [۱]. مکانیزم این ناپایداری به این صورت است که در اثر ورود یک پالس لیزری با فرکانس  $\omega_0$  به پلازما، الکترونها موجود در پلازما با انرژی بیش از  $40 \text{ MeV}$  و با سرعت های نسبیته شتاب گرفته و امواج نوری استوکس  $(\omega_- = \omega_0 - \omega_p)$  و آنتی استوکس  $(\omega_+ = \omega_0 + \omega_p)$  و امواج پلاسمایی با فرکانس  $\omega_p$  را در تمام جهات پراکنده می کنند (شکل ۱). از طرفی نیروی پاندرموتیو [۱] ناشی از زنش امواج استوکس و آنتی استوکس با موج ورودی سبب می شود که این امواج یک سری امواج پلاسمایی با دامنه بلند (امواج ردپایی) را پشت سر خود رها

$$\text{پیوستگی (۷) } \frac{\partial n_e}{\partial t} + \frac{\partial}{\partial x}(n_e v_e) = 0$$

اساسی عبارت است از :

$$\left(\frac{\partial^2}{\partial t^2} + \omega_p^2\right) \delta n_e = c^2 \nabla^2 \left(\frac{a^2}{2}\right) \quad (۸)$$

با تبدیل  $\tau = t - x/c$  و  $\psi = c\tau - x$  ، معادلات (۳) و (۸) در دستگاه مختصاتی که همراه پالس حرکت می کند، در نظر گرفته می شوند که در آن  $\psi$  فاصله یک مکان در پلاسما از ناظر متحرک می باشد. در این صورت با تعریف اختلال  $\chi = \delta n - \frac{a^2}{2}$  ، معادلات اساسی لیزر-پلاسما، در دستگاه متحرک بصورت زیر بدست می آیند :

$$\left(\frac{\partial^2}{\partial \tau^2} + 2c \frac{\partial^2}{\partial \tau \partial \psi} - c^2 \nabla_{\perp}^2\right) \bar{a} = -\omega_p^2 (1 + \chi) \bar{a} \quad (۹)$$

$$\left[\left(\frac{\partial}{\partial \tau} + c \frac{\partial}{\partial \psi}\right) + \omega_p^2\right] \chi \quad (۱۰)$$

$$= -\left[\omega_p^2 + \frac{\partial^2}{\partial \tau^2} + 2c \frac{\partial^2}{\partial \tau \partial \psi} - c^2 \nabla_{\perp}^2\right] \frac{a^2}{2}$$

### تحول زمانی امواج استوکس و آنتی استوکس

با توجه به نوسانی بودن چگالی و میدان الکتریکی در پلاسما، اختلال و دامنه امواج در پلاسما بصورت بسط زیر در نظر گرفته می شوند [۳] و [۲]:  $\chi_o = \frac{-a_o^2}{4}$  ،  $\chi = \chi_o + \frac{\chi_s}{2} e^{i\theta_p} + c.c.$  ،

$$\bar{a} = \frac{a_o}{2} e^{i\theta_o} + \frac{a_-}{2} e^{i\theta} + \frac{a_+}{2} e^{i\theta_p} + c.c. \quad (۱۱)$$

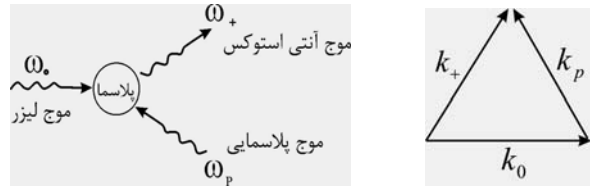
که در این رابطه، عبارت  $c.c.$  مزدوج مختلط،  $\theta_o = k_x - \omega t$  ، فاز پالس لیزر،  $\theta_{\pm} = \theta_o \pm \theta_p$  ، فاز مربوط به امواج استوکس و آنتی استوکس و  $\theta_p$  فاز امواج پلاسمایی پراکنده شده می باشد.

با فرض اینکه  $\omega_o \approx \omega_{\pm}$  (پلاسمای سرد) و آهنگ رشد امواج استوکس و آنتی استوکس کمتر از فرکانس آنها باشد، با اعمال روابط (۱۱) در (۹) ، معادلات تحول این امواج بدست می آیند :

$$2i\omega_- \frac{\partial a_-}{\partial \tau} = \omega_p^2 \frac{\chi_s a_o^*}{2} + D_- \quad (۱۲)$$

$$2i\omega_+ \frac{\partial a_+}{\partial \tau} = -\omega_p^2 \frac{\chi_s a_o}{2} + D_+ \quad (۱۳)$$

در این روابط،  $D_{\pm} = \omega_{\pm}^2 - c^2 k^2 - \omega_p^2 \left(1 - \frac{a_o^2}{2}\right) - c^2 k_{\perp}^2$  ، ضریب پخش امواج پراکنده شده استوکس و آنتی استوکس بوده



شکل ۱: نمودار پراکندگی موج آنتی استوکس

### معادلات اساسی لیزر- پلاسما

$$\nabla^2 \bar{A} - \frac{1}{c^2} \frac{\partial^2}{\partial t^2} \bar{A} = -\frac{4\pi}{c} \bar{J}_{\perp} \quad (۱)$$

که در آن  $\bar{A}$  ، پتانسیل برداری پالس لیزری و  $\bar{J}_{\perp} = -nev_x$  ، چگالی جریان الکترونها در پلاسما می باشد و با فرض اینکه که پالس لیزر در راستای محور Z منتشر شود و با در نظر گرفتن انرژی نسبی (۲)  $E^2 = E_o^2 + P^2 C^2$  و اندازه حرکت الکترونها در میدان الکتریکی لیزر (۳)  $\bar{P} = \frac{-e\bar{A}}{c}$  ، چگالی جریان  $\bar{J}_{\perp}$  بصورت زیر خواهد بود [۴] و [۱]:

$$\bar{J}_{\perp} = \frac{n_e}{4\pi n_o \gamma} \omega_p^2 \frac{\bar{A}}{c} \quad (۲)$$

که در آن  $\omega_p = \frac{4\pi n_e e^2}{m_e}$  فرکانس امواج پلاسمایی می باشد.

با اعمال رابطه (۲) در (۱) اولین معادله اساسی بدست می آید :

$$\left(\frac{\partial^2}{\partial t^2} - c^2 \nabla^2\right) \bar{a} = \left(-\frac{n_e}{n_o \gamma} \omega_p^2\right) \bar{a} \quad (۳)$$

که در آن  $\bar{a} = \frac{e\bar{A}}{m_o c^2}$  پتانسیل برداری نرمالیزه شده می باشد.

تعریف چگالی اختلالی  $\delta n = \frac{n - n_o}{n}$  و با در نظر گرفتن

$$\text{اندرکنش نسبی ضعیف } (1 \ll a) \text{ و } \left(\frac{1}{\gamma} \cong 1 - \frac{a^2}{2}\right)$$

رابطه (۳) بصورت زیر خواهد بود :

$$\left(\frac{\partial^2}{\partial t^2} - c^2 \nabla^2\right) \bar{a} = -\omega_p^2 \left(1 + \delta n - \frac{a^2}{2}\right) \bar{a} \quad (۴)$$

با استفاده از معادله حرکت (۵)  $F_x = -eE_x - m_o c^2 \frac{\partial \gamma_e}{\partial x}$

$$\text{و معادله پواسون (۶) } \frac{\partial^2 E}{\partial x^2} = -4\pi e(n_e - n_o)$$

رابطه (۱۷) و با استفاده از روابط (۱۵) و (۱۶) معادله تحول در این ناپایداری بصورت زیر خواهد بود :

$$\left[ \frac{\partial^2}{\partial \tau^2} + c \frac{\partial^2}{\partial \tau \partial \psi} - \gamma_o^2 \right] \chi_s(\tau, \psi) = 0 \quad (18)$$

که  $\gamma_o = \frac{a_o \omega_p^2}{\sqrt{8} \omega_o}$ ، آهنگ رشد این ناپایداری می باشد و جواب این معادله با استفاده از تبدیلات لاپلاس عبارت است از:

$$\chi_s^1(\tau, \psi) = \chi_o \exp(2\gamma_o \sqrt{\frac{\tau \psi}{c}}) \quad (19)$$

۲- ناپایداری چهار موجی غیرتشدیدی: در این حالت  $\Delta$  ناچیز ولی محدود است و نمی توان صرف نظر کرد. در نتیجه فقط موج استوکس تشدید می شود و با دامنه ای بیشتر از دامنه موج آنتی استوکس در پلاسما منتشر می شود. این ناپایداری در پراکندگی تقریباً مستقیم صورت می گیرد. بنابراین با در نظر گرفتن  $\frac{c^2 k_{\perp}^2}{\omega_p^2} \ll 1$  (پراکندگی پیرامحوری) و پایین بودن نرخ رشد در معادلات (۱۵) و (۱۶) و (۱۷) داریم:

$$\left[ \frac{\partial^3}{\partial \tau^3} + c \frac{\partial^3}{\partial \tau^2 \partial \psi} + \gamma_o^2 \frac{\partial}{\partial \tau} + i\gamma_m^3 \right] \chi_s = 0 \quad (20)$$

آهنگ رشد این ناپایداری نیز به صورت زیر می باشد:

$$\gamma_m = \left[ \frac{a_o^2}{16} \left( \frac{\omega_p^2}{\omega_o^2} \right) \omega_p^3 \alpha(\theta_s) \right]^{1/3} \quad (21)$$

بطوریکه  $\alpha(\theta_s) = 1 + \frac{\omega_p^4}{\omega_o^2} \sin^2 \theta_s$  و  $\theta_s$  زاویه پراکندگی بوده و در تقریب پیرامحوری،  $\theta_s \leq 6^\circ$  می باشد.

جواب فیزیکی این معادله مانند حالت اول بصورت زیر داده می شود:

$$\chi_s(\tau, \psi) = \chi_n H(\psi) \exp \left[ \frac{3\sqrt{3}}{2} \left( \gamma_m^3 \frac{\tau^2 \psi}{4c} \right)^{1/3} \right] \quad (22)$$

با توجه به اینکه هرگاه  $a_+ \gamma_m^3 \ll \gamma_o^2 \frac{\partial a_+}{\partial \tau}$  برقرار باشد، اولین ناپایداری حاصل می شود، بنابر این شرط ماندن در ناپایداری چهار موجی تشدید عبارت است از:

$$\left( \frac{\psi}{c\tau} \right) \gg \frac{2}{a_o^2} \frac{\omega_p^2}{\omega_o^2} \alpha^2(\theta_s) \quad (23)$$

و  $k = k_p$  می باشد بطوریکه از نظر ریاضی،  $D_+$  و  $D_-$  بطور همزمان نمی توانند صفر شوند. از نظر فیزیکی،  $D_- = 0$  به معنای این است که موج استوکس تشدید شده و رابطه پاشندگی  $\omega_-^2 = \omega_p^2 + c^2(k^2 + k_{\perp}^2)$  (۱۴) در پلاسما را ارضا نموده و همانند یک موج الکترومغناطیسی در پلاسما منتشر می شود.

با فرض  $D_- = 0$ ،  $D_+ = \Delta = -\frac{\omega_p^4}{2\omega_o^2} - 2c^2 k_{\perp}^2$  بوده و به این ترتیب معادلات مربوط به رشد دامنه امواج استوکس و آنتی استوکس بصورت زیر بدست می آیند [۲]:

$$2i\omega_- \frac{\partial a_-}{\partial \tau} = \omega_p^2 \frac{\chi_s}{2} a_o^* \quad (15)$$

$$2i\omega_+ \frac{\partial a_+}{\partial \tau} = -\omega_p^2 \frac{\chi_s}{2} a_o + \Delta a_+ \quad (16)$$

### رشد زمانی اختلال $\chi_s$ در پلاسما

با در نظر گرفتن تبدیلات (۱۱)، معادله (۱۰) به صورت زیر حاصل می شود:

$$\begin{aligned} & \left[ \left( \frac{\partial}{\partial \tau} + c \frac{\partial}{\partial \psi} \right)^2 - 2i\omega_p \left( \frac{\partial}{\partial \tau} + c \frac{\partial}{\partial \psi} \right) \right] \chi_s \\ & = -\frac{\omega_p^2}{2} \left( 1 + \frac{c^2 k_{\perp}^2}{\omega_p^2} \right) (a_o a_- + a_o^* a_+) \end{aligned} \quad (17)$$

که بیانگر تحول زمانی و مکانی اختلال در پلاسما می باشد. در این مقاله، رشد زمانی، در یک مکان مشخص بررسی می شود.

### طبقه بندی ناپایداری رامن رو به جلو

مقدار عبارت  $\Delta$  در رابطه (۱۶) نوع ناپایداری رامن را مشخص می کند که در زیر به توضیح این موارد پرداخته می شود [۳]:

۱- ناپایداری چهار موجی تشدید: در این حالت  $\Delta$  ناچیز بوده و صرف نظر می شود. در این صورت هر دو موج استوکس و آنتی استوکس تشدید شده و با دامنه یکسان در پلاسما رشد می کنند. این ناپایداری در زمانهای اولیه ورود لیزر به پلاسما و در پراکندگی های کاملاً مستقیم رخ می دهد. با فرض پایین بودن آهنگ رشد و صرف نظر از جمله اول در مقایسه با جمله دوم در

۳- ناپایداری سه موجی: در این حالت مقدار  $\Delta$  قابل ملاحظه بوده و با فرض  $\frac{2\omega_0}{a_+} \frac{\partial a_+}{\partial \tau} \gg \Delta$  موج آنتی استوکس کاملاً خاموش می شود. با اعمال این شرایط در (۱۵) و (۱۶) و (۱۷) معادله تحول و جواب آن در این حالت بترتیب زیر خواهند بود:

$$\left[ c \frac{\partial^2}{\partial \tau \partial \psi} + \frac{\partial^2}{\partial \tau^2} - \gamma_{3w}^2 \right] \chi_s(\tau, \psi) = 0 \quad (24)$$

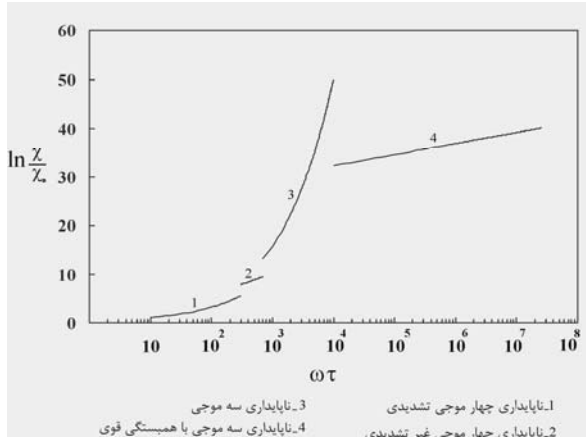
$$\chi_s^3(\tau, \psi) = \chi_0 \exp\left(2\gamma_{3w} \sqrt{\frac{\tau \psi}{c}}\right) \quad (25)$$

که در آن  $\gamma_{3w} = \left(\frac{1}{16} a_0^2 \frac{\omega_p^3}{\omega_0}\right)^{1/2}$ ، آهنگ رشد و شرط رخ دادن این ناپایداری بصورت زیر می باشد:

$$\left(\frac{\psi}{c\tau}\right) \ll \frac{16 \omega_p^5}{|a_0^2| \omega_0^5} \quad (26)$$

۴- ناپایداری سه موجی با اندرکنش قوی: هرگاه شدت لیزر زیاد باشد، همبستگی قوی در معادلات جفت شده لیزر-پلازما بوجود می آید و در این حالت جمله  $c \frac{\partial^3}{\partial \tau \partial \psi^2}$  در مشتق زمانی معادله (۱۷) مهم بوده و در عین حال از عبارتهای  $c^2 \frac{\partial^2}{\partial \psi^2}$  و  $\frac{\partial^2}{\partial \tau^2}$  در جمله دوم به علت کم بودن آهنگ رشد، صرف نظر نموده و به این ترتیب معادله تحول و جواب فیزیکی آن با آهنگ رشد  $\gamma_{3w}$  بصورت زیر بدست می آید:

$$\left[ c \frac{\partial^3}{\partial \tau \partial \psi^2} + 2i\omega_p \gamma_{3w}^2 \right] \chi_s = 0 \quad (27)$$

$$\chi(\tau, \psi) \approx \chi_n \exp\left[3\left(\sqrt{3}/2\right)\left(2\omega_p \gamma_{3w}^2 \psi^2 \tau / 4c^2\right)^{1/3}\right] \quad (28)$$


شکل ۲: نمودار رشد زمانی ناپایداری رامان رو به جلو به ازای  $K_p \psi = 1000$

#### مرجع ها

- [1] W. L. Kruer, "The Physics of Laser Plasma Interactions", Lawrence Livermore National Laboratory, Wesley, New York (1988) 60-61, 74-81
- [2] W. B. Mori, C. D. Decker, D. E. Hinkel and T. Katsouleas, "Raman Forward Scattering of Short-Pulse High-Intensity Laser", Phys. Rev. E **72**, 10 (1994)
- [3] Mykhailo Fomytskyi, Charles Chiu, "Raman-seeded laser wakefield acceleration" Department of Physics, University of Texas at Austin Austin, Texas 78712, (2003)
- [4] J. L. Basdevant, "Variational Principles in physics", Springer (2007) 53-65.

با توجه به اینکه هرگاه شرط  $\omega_p \chi_s \gg \left(\frac{\partial}{\partial \tau} + c \frac{\partial}{\partial \psi}\right) \chi_s$  ارضا شود، از اندرکنش قوی صرف نظر می شود، لذا ناپایداری فوق زمانی اتفاق می افتد که رابطه (۲۹)

$$\frac{\psi}{c\tau} \approx \frac{1}{8} a_0^2 \left(\frac{\omega_p}{\omega_0}\right)^2$$

برقرار باشد.

نتیجه گیری و محاسبات عددی